

华中科技大学

电子技术程序设计报告

院 系 人工智能与自动化学院

专业班级 人工智能 2304 班

姓 名 杜 辰 宇

学 号 U202315265

指导教师 程 晶 晶

2024 年 12 月 27 日

目录

1 正文	- 2 -
1.1 嘉立创 EDA 绘制的 XC7A35T-1FTG256C 开发板原理图.....	- 2 -
1.2 XC7A35T-1FTG256C 的特性、资源及可以替代的国产 FPGA.....	- 6 -
1.2.1XC7A35T-1FTG256C 的特性.....	- 6 -
1.2.2XC7A35T-1FTG256CFPGA 包含的资源	- 7 -
1.2.3 引脚定义注意事项	- 8 -
1.2.4 国产 FPGA 替代型号及采购渠道.....	- 9 -
1.3 如何在电子工程师群体中推广使用嘉立创 EDA，替代 AltiumDesignerEDA 工具软件？	- 11 -
1.3.1. 突出嘉立创 EDA 的核心优势.....	- 11 -
1.3.2 强化云端服务和协作功能.....	- 12 -
1.3.3 社区和用户支持和合作伙伴关系	- 12 -
1.4 不能用开源软件替换收费的 Vivado 软件的原因.....	- 14 -
1.5 数字电路实验报告	- 16 -
1.5.1 组合逻辑电路中的数值比较器实验.....	- 16 -
1.5.2 时序逻辑电路中的同步四位二进制加计数器实验	- 19 -
1.5.3 存储器电路中的存储器 FIFO 实验.....	- 26 -
1.6 基于 Sobel 算子的边缘检测的原理	- 35 -
1.6.1 原理概述	- 35 -
1.6.2 详细原理	- 35 -
1.6.3 总结	- 36 -
1.7 FPGA 实现边缘检测图像预处理具有较好实时性的原因	- 37 -
1.7.1 FPGA 实现边缘检测的并行处理能力.....	- 37 -
1.7.2 流水线设计	- 38 -
1.7.3 并行 I/O 操作.....	- 38 -
1.7.4 定制化硬件逻辑	- 38 -
2. 致谢.....	- 39 -

1 正文

1.1 嘉立创 EDA 绘制的 XC7A35T-1FTG256C 开发板原理图

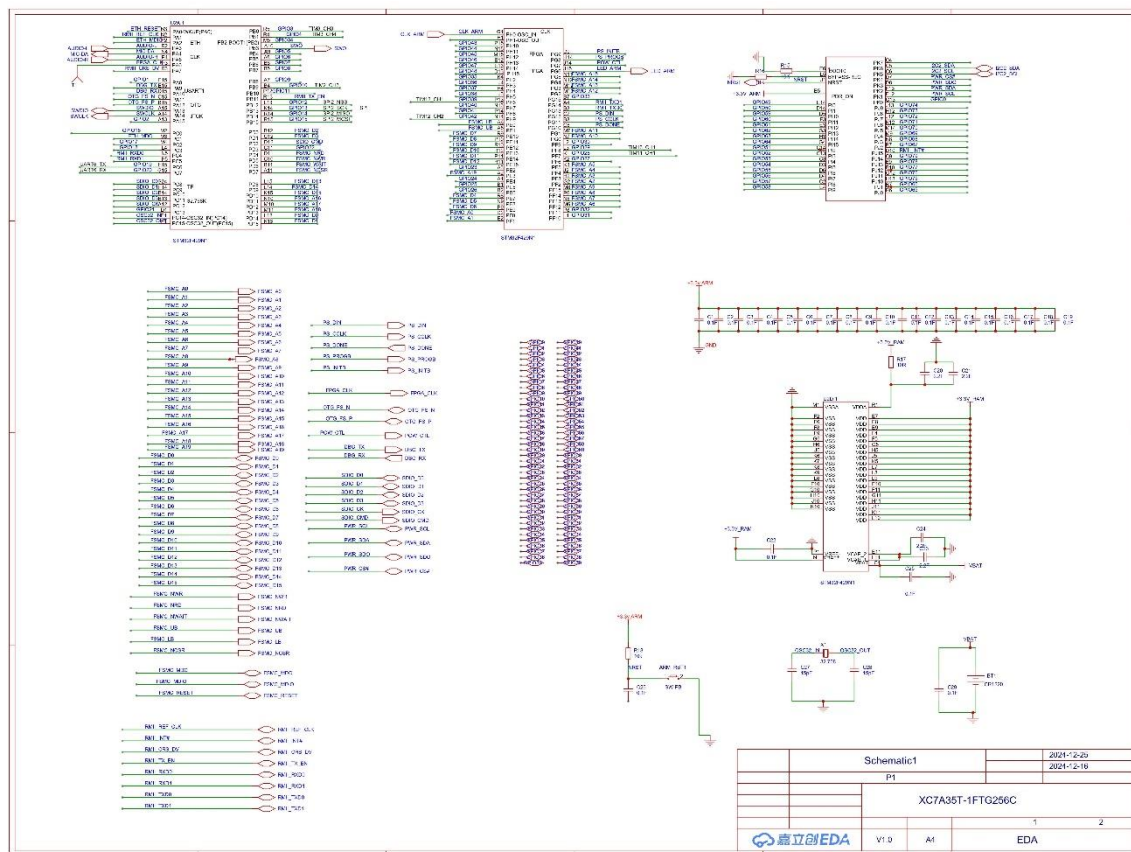


图 1-1 XC7A35T-1FTG256C 开发板原理图第一张

电子技术程序设计报告

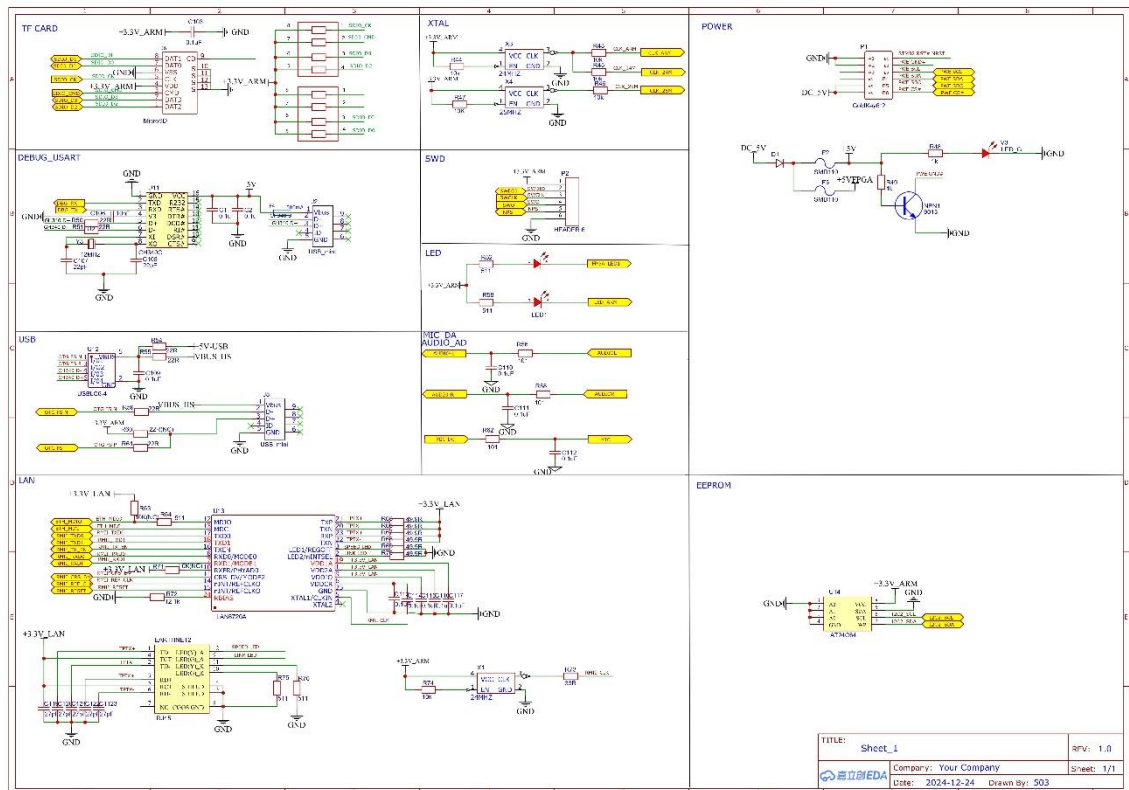


图 1-2 XC7A35T-1FTG256C 开发板原理图第二张

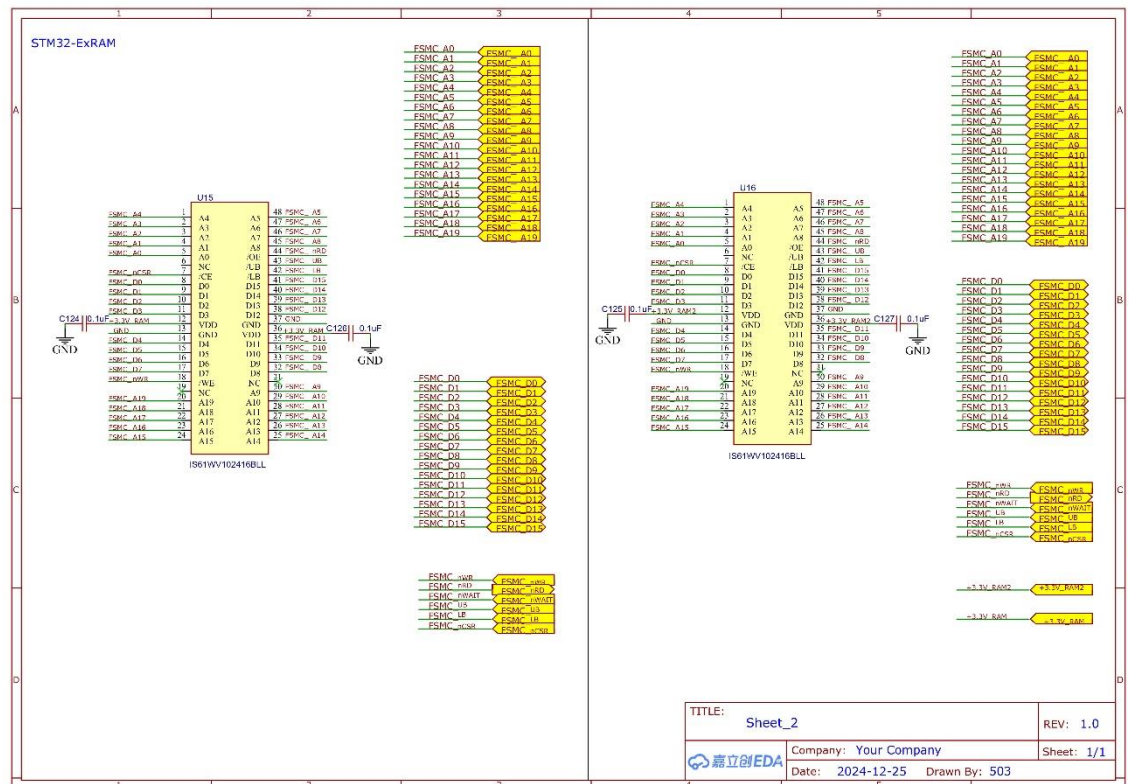


图 1-3 XC7A35T-1FTG256C 开发板原理图第三张

电子技术程序设计报告

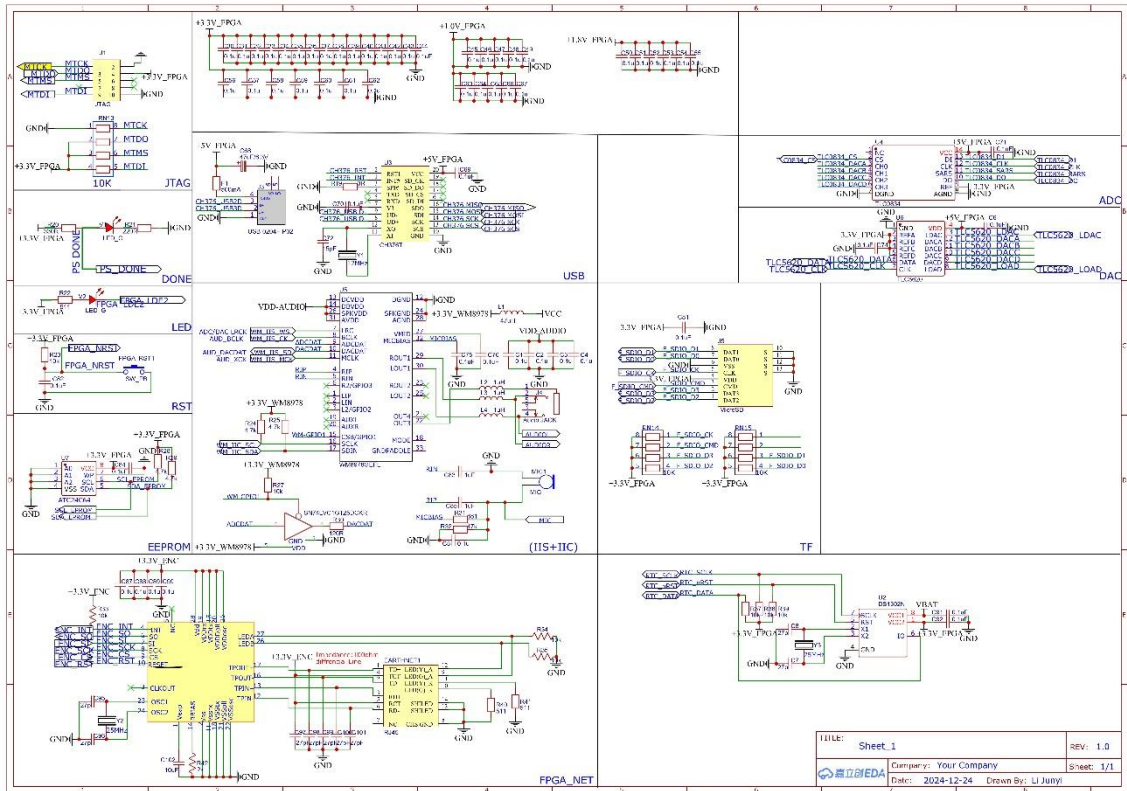


图 1-4 XC7A35T-1FTG256C 开发板原理图第四张

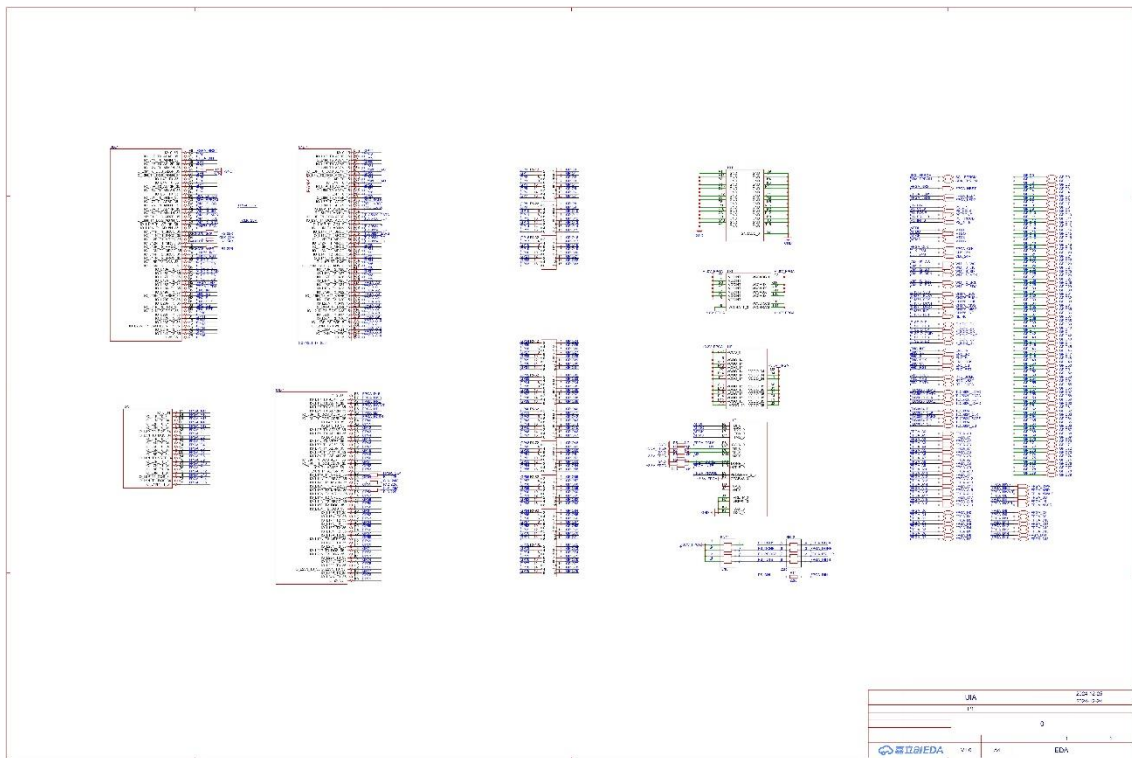


图 1-5 XC7A35T-1FTG256C 开发板原理图第五张

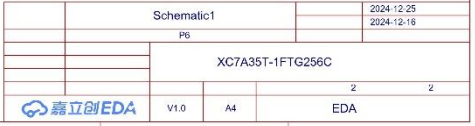


图 1-6 XC7A35T-1FTG256C 开发板原理图第六张

1.2 XC7A35T-1FTG256C 的特性、资源及可以替代的国产 FPGA

XC7A35T-1FTG256C 是赛灵思（Xilinx）公司推出的一款基于 Artix-7 系列的高性能 FPGA。该芯片以其高度集成和灵活性，广泛应用于通信、工业控制、消费电子等领域。

1.2.1 XC7A35T-1FTG256C 的特性

XC7A35T-1FTG256CFPGA 以其领先的技术特性在高性能计算、高速数据传输和灵活的设计应用方面脱颖而出。这款 FPGA 采用了先进的 28nm 工艺，提供了卓越的计算能力和低功耗运行，支持多种低功耗模式以适应不同的应用场景，处理高速数据通信方面表现出色。此外，XC7A35T-1FTG256CFPGA 还具备强大的安全性，包括集成的 AES 加密和 SHA-256 认证，确保了数据传输的安全性。

1.2.1.1 性能特性

高性能计算能力：凭借大量的逻辑单元和 DSPSlices，XC7A35T-1FTG256C 能够处理复杂的计算任务，适合高性能计算应用。

高速串行通信：通过集成的 GT 收发器，支持高达 12.5Gbps 的数据传输速率，适合高速数据通信。

1.2.1.2 低功耗特性

先进工艺技术：采用 28nm 工艺技术，实现高性能与低功耗的平衡。

低功耗模式：支持多种低功耗模式，包括动态功耗管理，以适应不同的功耗需求。

1.2.1.3 灵活性和可扩展性

I/O 配置灵活性：支持多种 I/O 标准和丰富的 I/O 引脚，使得设计可以灵活适应不同的接口需求。

可扩展的内存接口：支持多种类型的内存接口，包括 DDR3，为系统设计提供

可扩展的内存解决方案。

1.2.1.4 集成度和集成解决方案

集成的处理器支持：支持 MicroBlaze™ 软处理器，提供裸机、freeRTOS 和 Linux 支持，便于实现复杂的控制逻辑。

集成的安全特性：集成 AES 加密和 SHA-256 认证，为数据传输提供安全保障。

1.2.2 XC7A35T-1FTG256CFPGA 包含的资源

XC7A35T-1FTG256CFPGA 以其卓越的性能、高度集成的特性和灵活的设计能力在众多 FPGA 产品中脱颖而出。这款设备不仅搭载了先进的 28nm 工艺技术，而且在处理速度、功耗控制、I/O 接口多样性以及系统集成等方面展现出了显著的优势。其特性集中体现在高效的逻辑单元配置、强大的 DSP 处理能力、丰富的内存资源、灵活的 I/O 选项以及精确的时钟管理等方面，这些特性共同赋予了 XC7A35T-1FTG256CFPGA 在高速数据处理、复杂逻辑实现和多标准 I/O 支持等方面的强大竞争力。

1.2.2.1 逻辑资源

逻辑单元 (LogicCells)：拥有 35,000 个逻辑单元，基于 6 输入查找表 (LUTs)，为复杂的组合逻辑提供强大的支持。

内存资源

块 RAM (BlockRAM)：提供 640Kb 的块 RAM，这些双端口 RAM 资源可用于数据缓存、帧缓冲等高速存储需求。

分布式 RAM (DistributedRAM)：拥有 96Kb 的分布式 RAM 资源，分布在 FPGA 内部，便于实现局部数据存储和处理。

数字信号处理资源

DSPSlices: 包含 90 个 DSPSlices，每个 DSPSlice 包含 48 位乘法器和累加器，适合进行数字信号处理和浮点运算。

1.2.2.2 I/O 资源

I/O 引脚: 提供 170 个 I/O 引脚，支持多种不同的 I/O 标准，包括 LVDS、HSTL、LVCMOS 等，以适应各种外部接口需求。

高速串行 I/O: 支持 GT 收发器，实现最高 12.5Gbps 的数据传输速率，适用于高速串行通信。

1.2.2.3 时钟和电源管理资源

时钟管理单元 (CMT): 集成 5 个时钟管理单元，包括锁相环 (PLL) 和混合模式时钟管理器 (MMCM)，提供精确的时钟控制。

电源管理: 支持多种电压级别的电源输入，包括核心电压 (1.0V) 和 I/O 电压 (3.3V)，以及专用的 VCCO 电压，为不同功能的 I/O 提供电源。

1.2.2.4 其他特殊资源

模拟数字转换器 (XADC): 集成双 12 位模数转换器，提供片上温度和电压监控。

PCIExpress 接口: 支持 PCIExpress (PCIe) x8Gen3 端点和根端口设计，实现高速数据传输。

安全特性: 包括 AES 加密和 SHA-256 认证，增强数据安全性。

1.2.3 引脚定义注意事项

在进行 XC7A35T-1FTG256CFPGA 的引脚定义时，关键在于确保电源稳定性、信号完整性、电磁兼容性以及热管理。这些因素共同决定了 FPGA 的性能和可靠性，需要在设计初期就给予充分考虑和精确配置。

1.电压等级匹配: 确保外部电路的电压等级与 FPGA 引脚的电压等级相匹配，防止电压不匹配导致的损坏。

2.信号完整性与电源完整性：对于高速信号，需考虑信号完整性（SI）和电源完整性（PI）设计，以减少信号反射和串扰。

3.电磁兼容性：设计时应考虑电磁兼容性（EMC）要求，通过合理的布局和布线减少电磁干扰。

4.热管理：由于 FPGA 在运行中会产生热量，需要考虑散热设计，如使用合适的散热片和风扇。

5.引脚分配：合理分配引脚，避免将关键信号和噪声敏感信号放置在相邻位置，减少串扰。

1.2.4 国产 FPGA 替代型号及采购渠道

随着国产 FPGA 技术的快速发展，已有多家国内厂商推出了性能相当的替代产品。

几种替代型号及其特点：

1.复旦微 FMQL45T900：复旦微是国内 FPGA 领域技术较为领先的公司之一，其亿门级 FPGA 芯片基于 28nm 工艺制程，是国内最早研制成功的亿门级 FPGA 芯片，且目前已经实现了量产销售。复旦微还推出了自主研发的 EDA 设计工具 Procise，界面友好、功能强大且简单易用。

2.智多晶 Seagull 系列：智多晶(西安)提供的 Seagull1000、Seagull2000 和 Seagull5000 系列，覆盖了从低功耗到高性能的不同应用需求。这些系列提供了不同逻辑单元数量的选项，工艺从 0.162um 到 40nm 不等，频率从 322MHz 到更高频率，满足不同性能需求。

采购渠道：

国产 FPGA 的采购渠道多样，主要包括：

1.原厂直销：直接从复旦微或智多晶等原厂购买，可以获得最正规的产品和技术支持。

2.授权分销商：通过原厂授权的分销商购买，如 Digi-Key、Mouser 等，这些分销商通常能提供快速的物流和良好的售后服务。

3.在线电商平台：在阿里巴巴、京东、天猫等电商平台上，也有众多供应商提供国产 FPGA 产品。

1.3 如何在电子工程师群体中推广使用嘉立创 EDA，替代 AltiumDesignerEDA 工具软件？

1.3.1. 突出嘉立创 EDA 的核心优势

在推广嘉立创 EDA 以替代 AltiumDesignerEDA 工具软件的过程中，突出嘉立创 EDA 的核心优势是至关重要的。嘉立创 EDA 以其全面的服务和用户友好的设计，赢得了电子工程师的青睐。

要让客户认识到嘉立创 EDA 提供的一站式服务，集成了原理图设计、PCB 设计的功能，并拥有丰富的器件库和封装库。这种一站式服务极大地便利了学生、企业和个人工程师的科创活动和生产需求。用户可以直接在立创商城采购所需器件，实现从设计到生产的无缝对接，这为工程师节省了宝贵的时间和资源。

同时要突出嘉立创 EDA 的交互逻辑与市场上流行的 AD 或 protel 相似，甚至更为简洁，使得新用户能够迅速上手，降低了学习成本。这种易用性大大降低了用户的学习曲线，使得即使是初学者也能在短时间内掌握基本操作。

此外，嘉立创 EDA 提供了免费版本，这对于预算有限的小型企业和个人工程师来说是一个很大的吸引力。同时，嘉立创还提供了每月包邮免费打样的福利，这可以帮助用户在实际生产前验证设计，降低了试错成本。

嘉立创 EDA 的定制化能力也是其核心优势之一。用户可以根据自己的需求自定义元件库和宏命令，这种灵活性使得嘉立创 EDA 能够适应各种特定的设计需求。最后，嘉立创 EDA 依托于嘉立创集团强大的产业链优势，为用户提供了从设计到制造的一站式服务。这种产业链优势不仅为用户提供了快捷的 PCB 打样和 SMT 贴片生产服务，还通过立创商城为用户提供了丰富的元器件选择，进一步增强了嘉立创 EDA 的市场竞争力。

1.3.2 强化云端服务和协作功能

在电子工程师群体中推广嘉立创 EDA 替代 AltiumDesignerEDA 工具软件时，强化云端服务和协作功能是至关重要的一环。以下是具体的推广策略：

要让客户认识到嘉立创 EDA 提供的云端服务极大地提高了工作效率。云计算技术支持多人在线协作，如使用在线文档编辑平台，员工可以共同编辑、查看和修改文档，实现实时协同办公。这种协作方式不仅打破了地理限制，还使得团队成员能够随时随地访问项目文件和数据，从而提高工作效率和响应速度。

同时要推广嘉立创 EDA 突出的云端协作能力。它提供了实时聊天、讨论区和文件共享功能，团队成员可以随时沟通、分享文件，并进行实时协作。这种即时的沟通和信息共享机制，对于快速解决问题和加快项目进度至关重要。

再者，嘉立创 EDA 的云端服务还包括项目管理工具，如任务分配、进度跟踪等功能，使得团队成员可以随时查看项目进度、分配任务，保证项目顺利进行。这些工具有助于项目经理和团队领导更好地控制项目进度，确保按时交付。

云端服务提供的数据安全保障也是宣传的方面。云计算通过身份验证和权限设置来确保数据的安全性。企业可以限制对机密数据的访问，只向那些拥有密码和安全访问权限的人提供访问权限。这对于保护知识产权和敏感设计数据尤为重要。

嘉立创 EDA 的云端服务还支持多项目管理，允许团队在同一平台上管理多个项目，提高工作效率。这种集中化的管理方式有助于团队成员更好地理解项目间的依赖关系和资源分配，从而优化工作流程。

1.3.3 社区和用户支持和合作伙伴关系

在电子工程师群体中推广嘉立创 EDA 替代 AltiumDesignerEDA 工具软件时，社区和用户支持以及合作伙伴关系是两个重要的方面。以下是这两个方面的详细阐述：

嘉立创 EDA 构建了一个活跃的社区环境，为用户提供了一个交流和解决问题

的平台。这个社区不仅增强了用户的粘性，而且为新用户提供了一个学习的平台。用户可以在社区中分享经验、讨论问题，并从其他用户和嘉立创的专家那里获得帮助。这种社区支持极大地促进了知识的共享和问题的快速解决，同时也增强了用户对嘉立创 EDA 的忠诚度。此外，嘉立创 EDA 提供了专业客服团队，快速解决用户问题，响应用户需求与建议，践行着从嘉立创 EDA 成立之初就确立的使命：用简约、高效的国产 EDA 工具，助力工程师专注创造与创新。

嘉立创 EDA 在合作伙伴关系方面的努力也是其成功的关键。嘉立创 EDA 积极与国内外知名企业和科研机构开展合作，共同推动 EDA 技术的发展和應用。这种合作不仅提升了嘉立创 EDA 的品牌影响力，也为用户带来了更多的资源和技术支持。例如，嘉立创 EDA 与全国 500 多所高校开展课程应用、电子竞赛、实验室建设、工程素质训练等项目合作，受到教师与学生的一致好评。同时，已经有近 500 家企业选择使用嘉立创 EDA，既满足了企业设计需求，也大大提升了企业生产效率。此外，嘉立创 EDA 还与华为等企业合作，共同推动 EDA 软件的创新，得益于嘉立创 EDA 的云原生产品特性，便于团队协作和项目管理，以及集中管理更多的元器件库和模型，提升用户设计效率。

通过强化社区和用户支持以及建立强大的合作伙伴关系，嘉立创 EDA 能够更好地服务于电子工程师群体，并逐步替代 AltiumDesigner 成为首选的 EDA 工具软件。

1.4 不能用开源软件替换收费的 Vivado 软件的原因

在探索 FPGA 设计的广阔天地时，Vivado 不仅仅是一款工具，它是 Xilinx 赋予工程师的一把瑞士军刀，集专业性、性能优化、高级功能集成、技术支持和社区支持以及更新维护于一身的全能伙伴。它的存在，让设计师们在面对复杂的硬件设计挑战时，能够更加从容不迫，游刃有余。

Vivado 的设计流程经过精心优化，它能够处理那些高密度、高难度的设计任务，让设计师们能够将更多的逻辑集成到 FPGA 中，从而降低系统的成本和功耗。这种专业性和性能优化不仅体现在其全面的设计套件中，还包括了高效的逻辑综合、仿真以及调试工具。Vivado 通过智能地应用时钟门控技术和其他功耗降低策略，帮助设计者创建出功耗更低、效率更高的 FPGA 设计。此外，Vivado 的性能优化还体现在其对设计流程的深度优化上，如综合、实现和验证的效率提升，以及改进的时序分析工具的提供。

Vivado 的高级功能和集成能力为用户提供了一个强大的设计平台。它集成了 IP 集成、高层次综合、系统级设计和嵌入式开发等高级功能，使得设计者能够快速实现 C 语言算法 IP 的 ESL 设计，以及重用的标准算法和 RTLIP 封装技术。Vivado 的集成化方法解决了传统 FPGA 设计中的集成瓶颈问题，提高了模块和系统验证的仿真速度，硬件协仿真性能也得到了显著提升。Vivado 还支持设计输入在传统 HDL 如 VHDL 和 Verilog 中进行，同时引入了机器学习算法，以实现更佳的时序收敛。

在技术支持和社区支持方面，Vivado 展现出了显著的优势。Xilinx 公司提供了全面的技术支持服务，包括在线知识库、技术文档、故障排除指南以及直接联系技术支持专家的渠道。这种官方支持确保了用户在遇到复杂问题时能够得到及时和专业

的帮助，这对于保证项目按时完成和系统稳定运行非常重要。同时，Vivado 的社区支持网络为用户提供了一个宝贵的资源，使得用户可以在这里找到产品信息、知识文章，与其他产品用户和专家快速协作，以及轻松联系赛灵思支持专家。

Vivado 的更新和维护策略确保了软件的持续更新和改进，为用户提供了最新的技术和功能，同时也确保了软件的稳定性和可靠性。Xilinx 公司对 Vivado 的持续投入保证了软件能够不断适应和支持最新的 FPGA 技术和器件，每个新版本都带来了性能的提升和新功能的增加。这种定期的更新不仅确保了 Vivado 用户能够利用最新的技术进行设计，而且也保证了与最新器件的兼容性，使得设计工作能够紧跟技术发展的步伐。Xilinx 还提供了详尽的用户指南和文档，帮助用户了解如何安装、配置和使用 Vivado，以及如何利用新版本中的功能。这些文档为用户提供了宝贵的资源，帮助他们最大限度地利用 Vivado 的能力。同时，Xilinx 的技术支持社区也为用户之间的交流和协作提供了平台，使得用户可以在这里找到产品信息、知识文章，与其他产品用户和专家快速协作，以及轻松联系赛灵思支持专家。

随着技术的不断进步，Vivado 也在不断进化，它不仅仅是一个工具，更是设计师们创新旅程中的得力助手。在这个快速变化的世界里，Vivado 以其强大的功能和不断的更新，确保了设计师们能够站在技术的最前沿，创造出更加卓越和高效的设计。让我们期待 Vivado 未来带来更多的惊喜，也期待它继续在 FPGA 设计领域中发光发热。

1.5 数字电路实验报告

1.5.1 组合逻辑电路中的数值比较器实验

实验器件简介：在数字系统中，特别是在计算机中常需要对两个数的大小进行比较。数值比较器就是对两个二进制数 A 和 B 进行比较的逻辑电路，比较结果有 $A > B$ 、 $A < B$ 和 $A = B$ 三种情况。

1.5.1.1 代码注释以及 Bin 文件生成

数据分配器代码以及解释如下：

```
01  `timescale          1ns/1ps //时间单位是1 纳秒 (1ns)，时间精度是1 皮秒 (1ps)。  
02  
03  module compare_3 (y,a,b); //定义测试台模块  
04  
05      parameter N = 4;      //参数化位宽，默认为3  
06      input [N-1:0] a;      //数据 a  
07      input [N-1:0] b;      //数据 b  
08      output [2:0] y;      //比较结果输出，y[2]代表 a<b，y[1]代表 a=b，y[0]代表 a>b  
09  
10      reg [2:0] y;  
11  
12      always @ (a or b)begin // 对输入的 a、b 进行比较  
13          if (a > b)          //当 a > b 时  
14              y <= 3'b001;    //输出 y = 3'b001  
15          else if (a == b)    //当 a = b 时  
16              y <= 3'b010;    //输出 y = 3'b010  
17          else                //当 a < b 时  
18              y <= 3'b100;    //输出 y = 3'b100  
19      end  
20  
21  endmodule
```

Bin 文件生成：在 Vivado 中创建一个新的 FPGA 工程，创建 Verilog 文件并编写上述逻辑代码。运行综合工具，检查代码是否有错误。在 Vivado 的“Flow Navigator”

中，找到并点击“Generate Bitstream”按钮，勾选生成 bin 选项。然后设置 FPGA 的输入输出管脚约束。在 Vivado 中生成 Bitstream 即可生成 bin 文件

1.5.1.2 仿真测试方法的说明

仿真代码以及解释如下：

```
01 timescale 1ns/1ps  
//这行设置了仿真的时间单位和时间精度。时间单位是 1 纳秒 (1ns)，时间精度是 1 皮秒 (1ps)。  
  
02 module compare_3_tb;  
//定义了一个名为 compare_3_tb 的测试台模块。  
  
04 reg [3:0]a,b;  
//声明了两个 4 位的寄存器 a 和 b，用于存储输入信号。  
  
05 wire [2:0]y;  
//声明了一个 3 位的线网 y，用于连接到被测试模块的输出。  
  
07 initial begin  
//开始一个初始块，这是仿真开始时执行的代码块。  
  
08 a = 0;  
//将寄存器 a 初始化为 0。  
  
09 b = 0;  
//将寄存器 b 初始化为 0。  
  
10 fork  
//关键字 fork 开始一个并行块，允许在同一个时间点开始多个进程。  
  
11 repeat(20) #40 a = a + 1;  
//重复执行 20 次，每次循环后等待 40 时间单位（这里是 40 皮秒），然后将 a 的值增加 1。  
  
12 repeat(25) #10 b = b + 2;  
//重复执行 25 次，每次循环后等待 10 时间单位（这里是 10 皮秒），然后将 b 的值增加 2。  
  
13 join  
//关键字 join 结束 fork 块，所有并行进程在此汇合。  
  
14 $stop;  
//停止仿真。  
  
15 end  
//结束初始块。
```

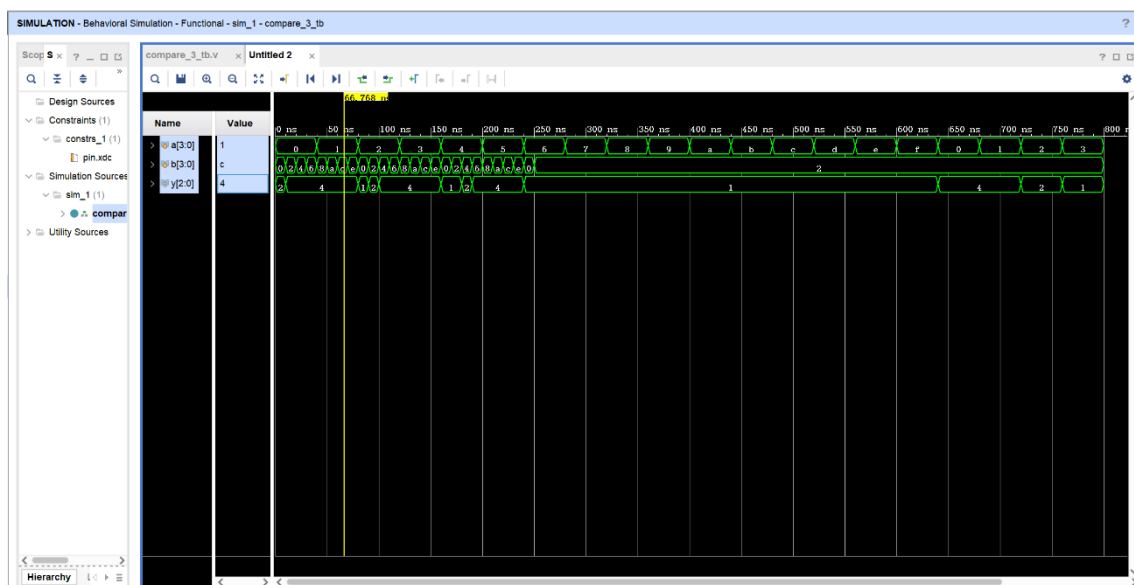
实例化名为 `compare 3` 的模块，并指定参数 `N` 为 4。

```
17  compare_3_inst( .y (y), .a (a), .b (b) );
```

将实例化的模块 `compare` 3 命名为 `compare 3 inst`, 并连接其端口。y 是输出, a 和 b 是输入。

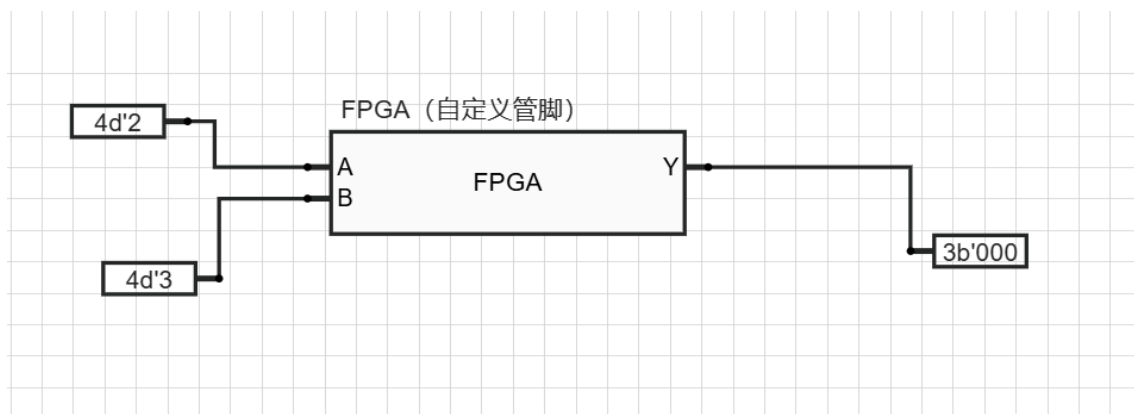
```
18 endmodule
```

仿真结果如下:



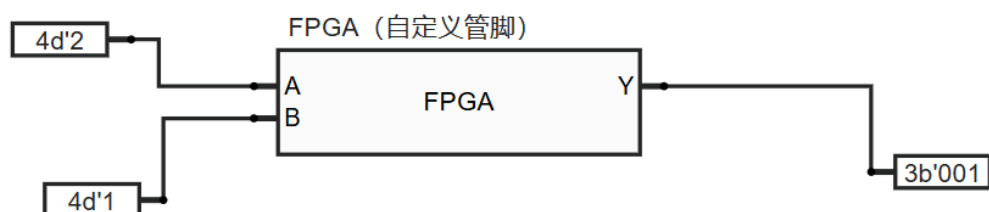
1.5.1.3 远程云端实验方法的说明

登录远程云端平台，确定板卡连接无误的情况下，进入实验面板，在右侧器件面板的逻辑器件一栏中，找到自定义 FPGA、对应的输入输出向实验面板图纸中央拖拽，同时将外围器件与逻辑器件的输入输出端口相连接，可以绘制如下图的电路实验模型图，位输入作为输入信号，位输出作为监测输出信号。这是一个 8 输入 3 输出的逻辑器件，使用 2 个 4bit 位输入，1 个 3bit 位输出。

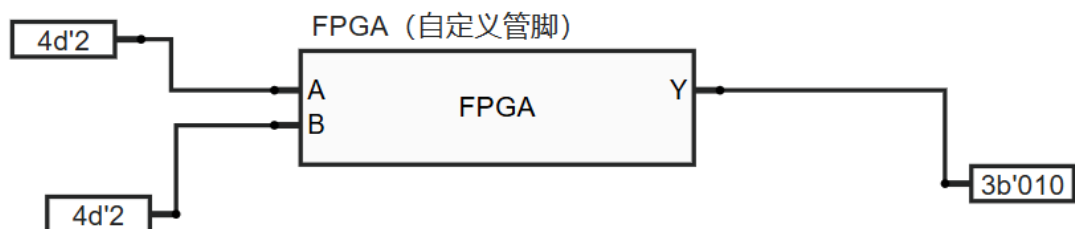


利用 bin 文件进行 FPGA 烧结后调整输入数据，观测输出数据。下面为 $a > b$, $a < b$, $a = b$ 三种情况下的输出。

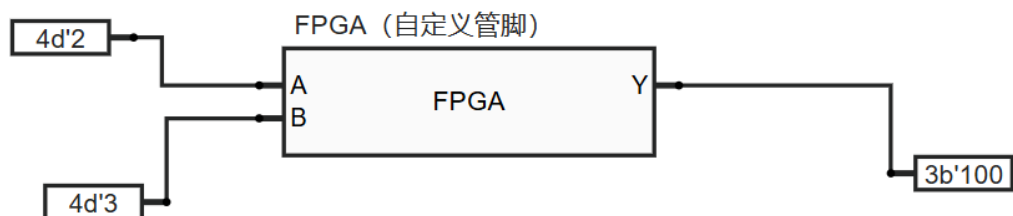
$a > b$ 时：



$a = b$ 时：



$a < b$ 时：



1.5.2 时序逻辑电路中的同步四位二进制加计数器实验

实验器件简介：4 位同步二进制加计数器 74HC161，原理图如图 3.1 所示，该计数

器具有两个高电平使能端 CET 和 CEP，低电平异步清零端 CR，低电平同步置位端 PE，四位并行置数端 D，四位数据输出端 Q 和一位进位信号 TC。

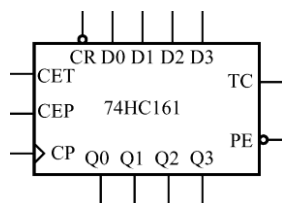


图 3.1 74LVC161 计数器

1.5.2.1 代码注释以及 Bin 文件生成

数据分配器代码以及解释如下：

```

01 module counter74HC161 (
02     input cep, cet, pe_n, cp, cr_n,          //输入端口声明
03     input [3:0] d,                          //并行数据输入
04     output tc,                              //进位输出
05     output reg [3:0] q                      //数据输出端口及变量的数据 类型声明
06 );
07     wire ce;                                //中间变量声明
08     assign ce= cep & cet;                    //ce=1 时，计数器计数
09     assign tc = cet & q[3] & q[2] & q[1] & q[0]; //产生进位输出信号
10
11     always @(posedge cp, negedge cr_n)
12         if ( !cr_n ) q<= 4'b0000;           //实现异步清零功能
13         else if ( !pe_n ) q <= d;           //pe_n=0, 同步装入输入数据
14         else if ( ce ) q <= q+1'b1;         //加1 计数
15         else q <= q;                         //输出保持不变
16
17 endmodule

```

此计数器的功能为：

1. 异步清零（cr_n 为低电平）：

不论其他输入信号的状态如何，只要 cr_n 为低（0），计数器 q 会被立即清零到 4'b0000。

2. 同步装载数据 (pe_n 为低电平):

当 pe_n 为低 (0), 并且 cp 有上升沿时, 计数器 q 会被同步装载上输入的数据 d。

3. 计数使能 (ce 为高电平):

ce 是 cep 和 cet 的逻辑与结果, 只有当 cep 和 cet 都为高 (1) 时, ce 才为高。在 ce 为高的情况下, 每当 cp 产生上升沿时, 计数器 q 会加 1。

4. 正常计数 (无上述条件触发):

如果上述条件都不满足, 计数器 q 保持当前值不变。

5. 进位输出 (tc):

当 cet 为高电平, 并且 q 的所有位 (q[3]、q[2]、q[1]、q[0]) 都为高 (1), 即计数器达到最大值 9 (二进制 1001), tc 会产生一个高电平的进位信号, 表示计数器溢出。

Bin 文件生成: 在 Vivado 中创建一个新的 FPGA 工程, 创建 Verilog 文件并编写上述逻辑代码。运行综合工具, 检查代码是否有错误。在 Vivado 的“Flow Navigator”中, 找到并点击“Generate Bitstream”按钮, 勾选生成 bin 选项。然后设置 FPGA 的输入输出管脚约束。在 Vivado 中生成 Bitstream 即可生成 bin 文件

1.5.2.2 仿真测试方法的说明

仿真代码如下:

```

01 `timescale      1ns/1ps
02
03 module counter74HC161_tb();
04     reg cep, cet, pe_n, cp, cr_n;      //输入端口声明
05     reg [3:0] d;                        //并行数据输入
06     wire tc;                            //进位输出
07     wire [3:0] q;                       //数据输出端口及变量的数据类型声明
08
09 counter74HC161 TEST (
10     .cep(cep),
11     .cet(cet),
12     .pe_n(pe_n),
13     .cp(cp),
14     .cr_n(cr_n),                        //输入端口声明
15     .d(d),                             //并行数据输入

```

```

16      .tc(tc),           //进位输出
17      .q(q)
18 );           //数据输出端口及变量的数据类型声明
19
20      initial fork
21          cp = 0;
22          cr_n = 1; #15 cr_n = 0; #25 cr_n = 1;
23          pe_n = 1; #25 pe_n = 0; #35 pe_n = 1;
24          d = 4'b1100;
25          cep = 0; # 28 cep = 1; # 250 cep = 0;
26          cet = 0; # 30 cet = 1; # 235 cet = 0;
27      #1000 $stop;
28      join
29
30      always #10 cp = ~cp;
31
32  endmodule

```

代码解释如下：

timescale 1ns/1ps:

设置仿真的时间单位和时间精度。1ns（纳秒）是仿真的时间单位，1ps（皮秒）是仿真的时间精度。

module counter74HC161_tb();:

定义了一个名为 counter74HC161_tb 的测试平台模块。

reg cep, cet, pe_n, cp, cr_n;:

声明了 5 个寄存器类型的输入信号，分别对应 74HC161 的控制引脚。cep 和 cet 是时钟使能端，pe_n 是预置输入端，cp 是时钟输入端，cr_n 是复位输入端。

reg [3:0] d;:

声明了一个 4 位宽的寄存器 d，用于并行数据输入。

wire tc;:

声明了一个线网类型的信号 tc，用于接收计数器的进位输出。

wire [3:0] q;:

声明了一个 4 位宽的线网 q，用于接收计数器的数据输出。

counter74HC161 TEST (...);:

实例化了 counter74HC161 模块，并将测试平台中的信号连接到该模块的对应引脚。

initial fork ... join:

这是一个初始块，用于在仿真开始时执行代码。fork 和 join 关键字用于创建并行执行的代码块

cp = 0;:

初始化时钟信号 cp 为 0。

cr_n = 1; #15 cr_n = 0; #25 cr_n = 1;:

复位信号 cr_n 在仿真开始后 15ns 设置为 0（复位），在 40ns 后设置回 1（解除复位）。

pe_n = 1; #25 pe_n = 0; #35 pe_n = 1;:

预置信号 pe_n 在仿真开始后 25ns 设置为 0（预置），在 60ns 后设置回 1（取消预置）。

d = 4'b1100;:

并行数据输入 d 被初始化为二进制值 1100。

cep = 0; # 28 cep = 1; # 250 cep = 0;:

时钟使能 cep 在仿真开始后 28ns 设置为 1，然后在 278ns 设置回 0。

cet = 0; # 30 cet = 1; # 235 cet = 0;:

时钟使能 cet 在仿真开始后 30ns 设置为 1，然后在 265ns 设置回 0。

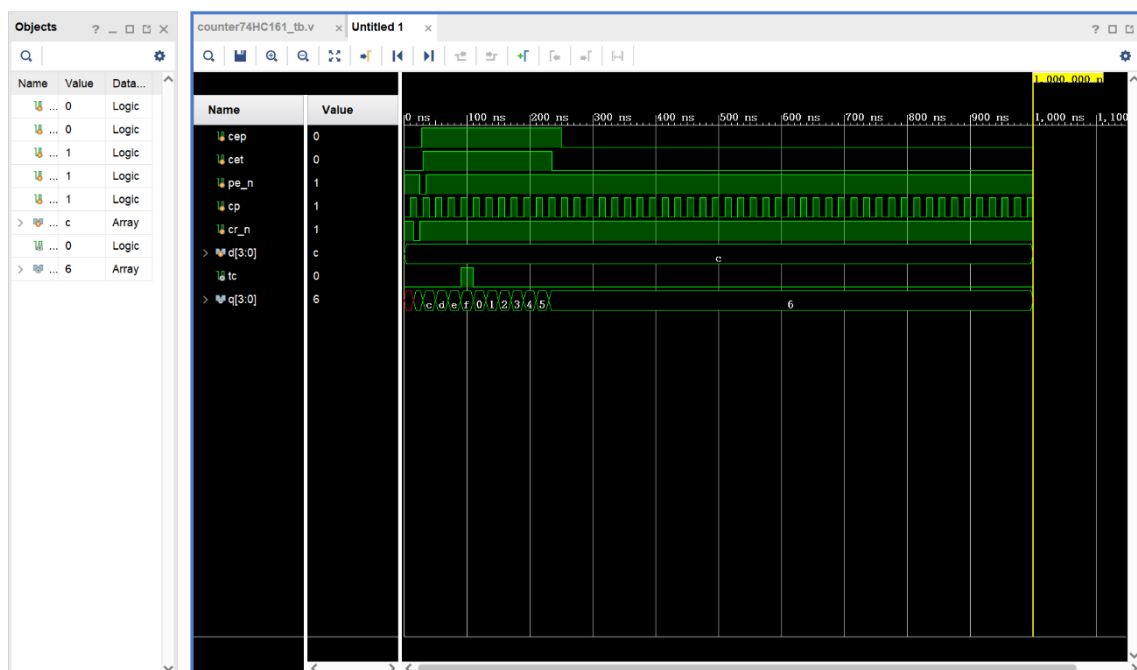
#1000 \$stop;:

在仿真 1000ns 后停止仿真。

always #10 cp = ~cp;:

这是一个始终块，用于每隔 10ns 翻转时钟信号 cp 的状态，模拟时钟信号的周期性变化。

仿真结果如下：



从仿真波形可以看出，如在 15ns 时刻，电路具有异步清零信号 cr_n（低电平

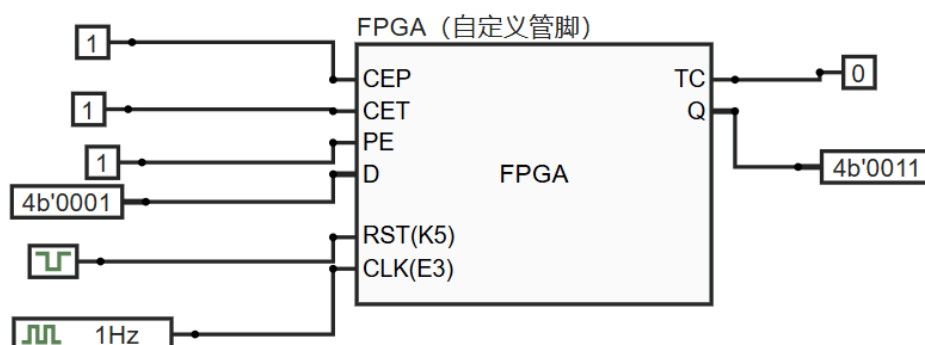
有效), 优先级最高; 如在 30ns 时刻, 当清零信号无效时, 同步置位信号 pe_n (低电平有效), 在时钟信号 cp 上升沿时将外部 d 的信号赋值给计数器状态信号 q ; 如在 30ns~90ns 之间, 在清零和置位信号均无效时, 使能信号 cep 和 cet 高电平有效, 时钟信号 cp 上升沿, 计数器加 1 计数; 如在 90ns 时刻, tc 为四位二进制计数器进位信号, 当 cet 、 $q3$ 、 $q2$ 、 $q1$ 和 $q0$ 均为高电平时, 进位信号 tc 为 1; 如在 250ns 时刻, 当 cep 或 cet 信号有一个为无效信号, 计数器保持。

1.5.2.3 远程云端实验方法的说明

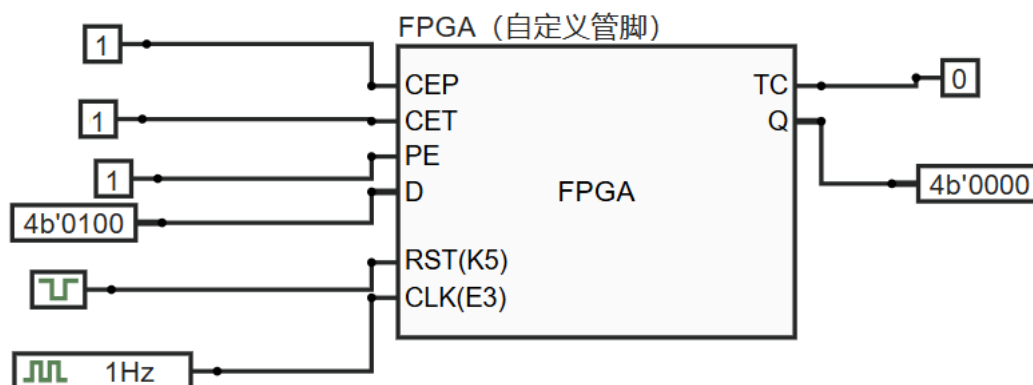
登录远程云端平台, 确定板卡连接无误的情况下, 进入实验面板, 在右侧器件面板的逻辑器件一栏中, 找到自定义 FPGA、对应的输入输出以及时钟信号向实验面板图纸中央拖拽, 同时将外围器件与逻辑器件的输入输出端口相连接, 可以绘制如下图的电路实验模型图, 位输入作为输入信号, 位输出作为监测输出信号。这是一个带有时钟复位的 7 输入 5 输出的逻辑器件, 3 个 1bit 位输入作为输入信号 CEP、CET、PE, 1 个 4bit 位输入信号 D, 1 个时钟输入 clk , 一个下降沿复位 RST, 1 个 1bit 位输出信号 tc 和 1 个 4bit 位输出 Q 。

利用 bin 文件进行 FPGA 烧结后调整输入数据, 观测输出数据。

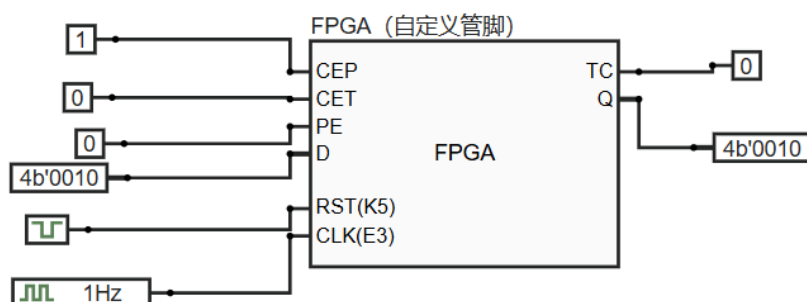
1. 异步清零 (cr_n 为低电平, 即 RST 为下降沿):



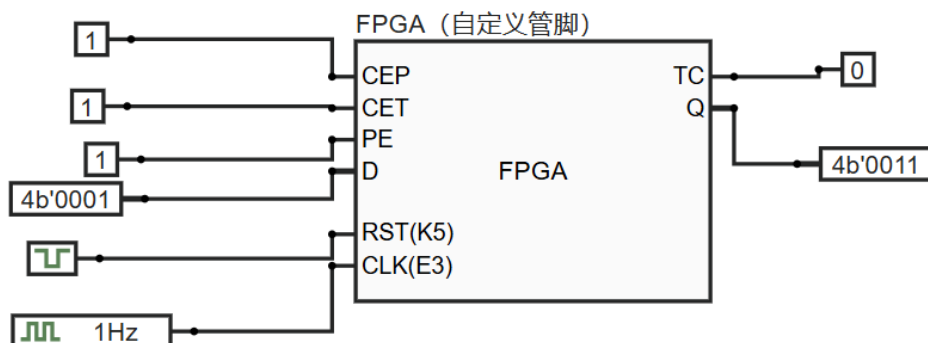
↓↓



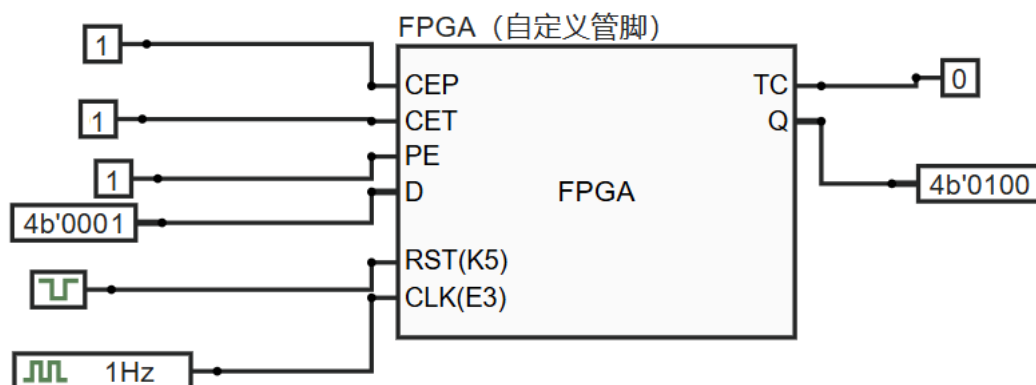
2. 同步装载数据 (pe_n 为低电平):



3. 计数使能 (ce 为高电平, 即 CEP,CET 同时为高电平):



↓↓



1.5.3 存储器电路中的存储器 FIFO 实验

FIFO (First In First Out) 即先进先出存储器，其特点是最先写进的数据最先从出口读出。本节将实现一个宽 8 位深 32 的同步 FIFO，并通过远程实验平台验证。

1.5.3.1 代码注释及 bin 文件生成

代码如下：

```

01 `timescale          1ns/1ps
02
03 module my_fifo ( clock, aclr, data, rdreq, wrreq, //input
04                 q, empty, full, usedw           //output
05                 );
06     input  clock;           //系统时钟
07     input  aclr;            //系统复位，异步高有效
08     input  [7:0] data;      //写数据
09     input  rdreq;           //读请求
10     input  wrreq;           //写请求
11     output empty;           //空标志信号
12     output full;            //满标志信号
13     output reg[7:0] q;      //读出数据
14     output reg[4:0] usedw;   //可用资源量
15
16     reg[7:0] fifo_ram[0:31]; //存储器矩阵
17     reg [4:0] rdaddr;         //读地址指针
18     reg [4:0] wraddr;         //写地址指针
19
20 //FIFO 读操作
21 always @ (posedge clock, posedge aclr) begin

```

```

22     if(aclr) begin
23         q <= 8'h00;
24     end
25     else if( rdreq == 1'b1 && empty == 1'b0 ) begin
26         q <= fifo_ram[rdaddr];    //读出对应地址数据
27     end
28     else if( rdreq && wrreq ) begin
29         q <= fifo_ram[rdaddr];    //读出对应地址数据
30     end
31 end
32
33 //FIFO 写操作
34 always @ (posedge clock, posedge aclr) begin
35     if(aclr) begin
36         ;
37     end
38     else if( wrreq == 1'b1 && full == 1'b0 ) begin
39         fifo_ram[wraddr] <= data;    //将数据写入相应地址
40     end
41     else if( rdreq && wrreq ) begin
42         fifo_ram[wraddr] <= data;    //将数据写入相应地址
43     end
44 end
45 //指针操作
46 always @ (posedge clock, posedge aclr) begin
47     if(aclr) begin
48         rdaddr <= 4'd0;
49         wraddr <= 4'd0;
50     end
51     else begin
52         wraddr <= ((wrreq && !full) || (wrreq && rdreq)) ? wraddr + 1 : wraddr;
53         rdaddr <= ((rdreq && !empty) || (wrreq && rdreq)) ? rdaddr + 1 : rdaddr;
54     end
55 end
56 //计算存储器资源
57 always @ (posedge clock, posedge aclr) begin
58     if(aclr) begin
59         usedw <= 5'd0;
60     end
61     else begin
62         case ( {wrreq,rdreq} )
63             2'b00: usedw <= usedw;
64             2'b01: usedw <= (usedw == 5'd0) ? 5'b00000 : usedw - 1;
65             2'b10: usedw <= (usedw == 5'd31) ? 5'b11111 : usedw + 1;

```

```

66          2'b11: usedw <= usedw;
67          default: usedw <= usedw;
68      endcase
69  end
70 end
71
72 //空标志
73 assign empty = ( usedw == 5'd0 )? 1'b1: 1'b0;
74 //满标志
75 assign full = ( usedw == 5'd31 )? 1'b1: 1'b0;
76
77 endmodule

```

代码解释:

```

module my_fifo ( clock, aclr, data, rdreq, wrreq,
                q, empty, full, usedw );

```

1.这里定义了 FIFO 的内部存储器 fifo_ram, 它是一个 8 位宽、32 字节深的数组。同时定义了两个 5 位的寄存器 rdaddr 和 wraddr, 分别用于跟踪读和写的地址指针。

```

reg[7:0] fifo_ram[0:31];    //存储器矩阵
reg [4:0] rdaddr;           //读地址指针
reg [4:0] wraddr;           //写地址指针

```

2.这部分代码处理 FIFO 的读操作。在时钟上升沿或复位信号激活时, 如果复位信号 aclr 为高, 则清空输出数据 q。如果读请求 rdreq 为高且 FIFO 不为空, 则从 fifo_ram 中读取数据到 q。

```

always @ (posedge clock, posedge aclr) begin
    if(aclr) q <= 8'h00;
    else if(rdreq == 1'b1 && empty == 1'b0) q <= fifo_ram[rdaddr];
    else if (rdreq && wrreq) q <= fifo_ram[rdaddr];
end

```

3.这部分代码处理 FIFO 的写操作。在时钟上升沿或复位信号激活时, 如果复位信号 aclr 为高, 则不执行任何操作。如果写请求 wrreq 为高且 FIFO 未滿, 则将输入数据 data 写入 fifo_ram。

```

always @ (posedge clock, posedge aclr) begin
    if(aclr);
    else if(wrreq == 1'b1 && full == 1'b0) fifo_ram[wraddr] <= data;
    else if (rdreq && wrreq) fifo_ram[wraddr] <= data;
end

```

4.这部分代码更新读和写的地址指针。在复位时, 两个指针都被重置为 0。在正常操作中, 根据读写请求和 FIFO 的满空状态, 指针相应地增加。

```

always @ (posedge clock, posedge aclr) begin
    if(aclr) begin
        rdaddr <= 4'd0;
        wraddr <= 4'd0;
    end
    else begin
        wraddr <= ((wrreq && !full)/(wrreq && rdreq)) ? wraddr + 1 : wraddr;
        rdaddr <= ((rdreq && !empty)/(wrreq && rdreq)) ? rdaddr + 1 : rdaddr;
    end
end
end

```

5. 这部分代码更新读和写的地址指针。在复位时，两个指针都被重置为 0。在正常操作中，根据读写请求和 FIFO 的满空状态，指针相应地增加。

```

always @ (posedge clock, posedge aclr) begin
    if(aclr) usedw <= 5'd0;
    else case ({wrreq,rdreq})
        2'b00: usedw <= usedw;
        2'b01: usedw <= (usedw == 5'd0) ? 5'b00000 : usedw - 1;
        2'b10: usedw <= (usedw == 5'd31) ? 5'b11111 : usedw + 1;
        2'b11: usedw <= usedw;
        default:usedw <= usedw;
    endcase
end
end

```

6. 这部分代码计算 FIFO 中已使用的存储空间数量 usedw。在复位时，usedw 被清零。在正常操作中，根据读写请求的组合，usedw 相应地增加或减少。

```

assign empty = ( usedw == 5'd0 ) ? 1'b1 : 1'b0;
assign full = ( usedw == 5'd31 ) ? 1'b1 : 1'b0;

```

7. 这部分代码定义了 FIFO 的空和满标志信号。empty 在 usedw 为 0 时为高，表示 FIFO 为空；full 在 usedw 为 31（最大值）时为高，表示 FIFO 已满。

Bin 文件生成：在 Vivado 中创建一个新的 FPGA 工程，创建 Verilog 文件并编写上述逻辑代码。运行综合工具，检查代码是否有错误。在 Vivado 的“Flow Navigator”中，找到并点击“Generate Bitstream”按钮，勾选生成 bin 选项。然后设置 FPGA 的输入输出管脚约束。在 Vivado 中生成 Bitstream 即可生成 bin 文件

烧写验证：将 bin 文件烧写到 FPGA 并进行功能验证。

仿真代码如下：

```

`timescale          1ns/1ps
module my_fifo_tb();
    reg              clock;           //系统时钟

```

```

    reg    aclr;           //系统复位, 异步高有效
    reg    [7:0] data;     //写数据
    reg    rdreq;          //读请求
    reg    wrreq;          //写请求
    wire    empty;         //空标志信号
    wire    full;          //满标志信号
    wire    [7:0] q;       //读出数据
    wire    [4:0] usedw;    //可用资源量
initial begin
    clock = 0;//sys_clk
    aclr = 0;//reset
    data = 8'd0;
    rdreq = 0;
    wrreq = 0;
    #200
    aclr = 1;//reset
    #200
    fork
        aclr = 0;
        wrreq = 1;
        repeat(31) #40 data = data + 3;
    join
        wrreq = 0;
        #100
        rdreq = 1;
        #1280
        rdreq = 0;
        #100
        $stop;
end
my_fifo my_fifo_inst(
    .clock(clock),
    .aclr(aclr),
    .data(data),
    .rdreq(rdreq),
    .wrreq(wrreq), //input
    .q(q),
    .empty(empty),
    .full(full),
    .usedw(usedw)//output
);
    always #20 clock = ~clock;
endmodule

```

代码解释:

```
`timescale 1ns/1ps
module my_fifo_tb();
```

1.这行代码设置了仿真的时间单位为 1 纳秒 (ns)，时间精度为 1 皮秒 (ps)，并声明了名为 my_fifo_tb 的测试平台模块。

```
reg clock;           //系统时钟
reg aclr;            //系统复位，异步高有效
reg [7:0] data;      //写数据
reg rdreq;           //读请求
reg wrreq;           //写请求
wire empty;          //空标志信号
wire full;           //满标志信号
wire [7:0] q;        //读出数据
wire [4:0] usedw;    //可用资源量
```

2.这部分代码声明了测试平台中使用的寄存器 (reg) 和线网 (wire) 类型信号。reg 类型的信号可以被赋值，而 wire 类型的信号通常用于连接模块间的信号。

初始块定义了测试序列：

```
initial begin
    clock = 0;
    aclr = 0;
    data = 8'd0;
    rdreq = 0;
    wrreq = 0;
    #200
    aclr = 1;
    #200
    fork
        aclr = 0;
        wrreq = 1;
        repeat(31) #40 data = data + 3;
    join
    wrreq = 0;
    #100
    rdreq = 1;
    #1280
    rdreq = 0;
    #100
    $stop;
End
```

3.初始化所有控制信号为 0。

200 纳秒后，激活复位信号 aclr。

再过 200 纳秒，复位结束，开始写操作：设置写请求 `wrreq` 为 1，并循环 3 次，
每次循环将 `data` 增加 3。

写操作完成后，关闭写请求 `wrreq`。

100 纳秒后，开始读操作：设置读请求 `rdreq` 为 1。

1280 纳秒后，关闭读请求 `rdreq`。

再过 100 纳秒，停止仿真。

```
my_fifo my_fifo_inst(
    .clock(clock),
    .aclr(aclr),
    .data(data),
    .rdreq(rdreq),
    .wrreq(wrreq), //input
    .q(q),
    .empty(empty),
    .full(full),
    .usedw(usedw)//output
);
```

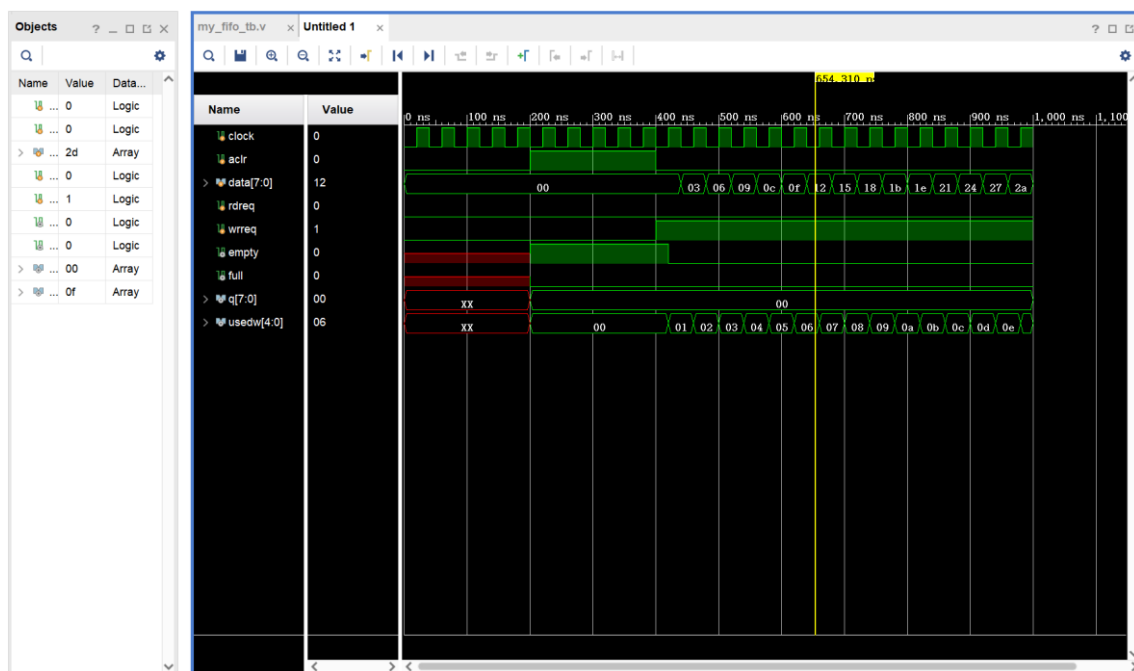
4. 这部分代码实例化了 `my_fifo` 模块，并将测试平台中的信号连接到 FIFO 模块的对应端口。

```
always #20 clock = ~clock;
```

5. 这个 `always` 块用于生成时钟信号。每隔 20 纳秒，时钟信号 `clock` 的状态会翻转一次，模拟一个周期为 40 纳秒的时钟信号。

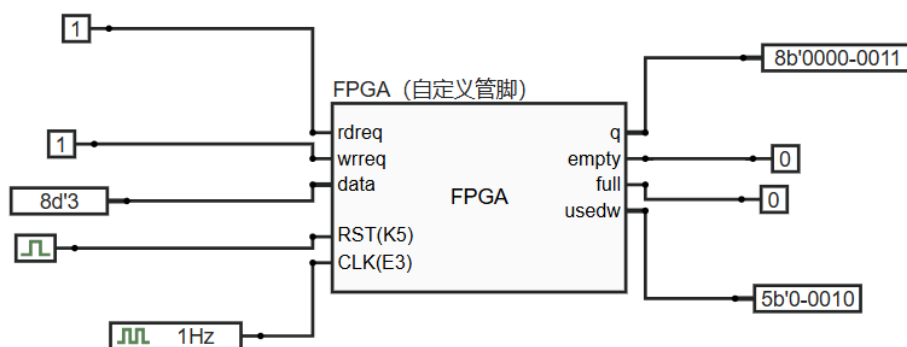
```
my_fifo my_fifo_inst(
    .clock(clock),
    .aclr(aclr),
    .data(data),
    .rdreq(rdreq),
    .wrreq(wrreq), //input
    .q(q),
    .empty(empty),
    .full(full),
    .usedw(usedw)//output
);
```

6. 这部分代码实例化了 `my_fifo` 模块，并将其端口连接到测试平台的相应信号。
仿真结果如下：



1.5.3.3 远程云端实验方法的说明

登录远程云端平台，确定板卡连接无误的情况下，进入实验面板，在右侧器件面板的逻辑器件一栏中，找到自定义 FPGA、对应的输入输出以及时钟信号向实验面板图纸中央拖拽，同时将外围器件与逻辑器件的输入输出端口相连接，可以绘制如下图的电路实验模型图，位输入作为输入信号，位输出作为监测输出信号。



主要功能和组件：

模块声明：my_fifo 模块有输入端口 clock（时钟信号）、aclr（异步复位信号）、data（8 位数据输入）、rdreq（读请求信号）、wrreq（写请求信号），以及输出端口 q（8 位数据输出）、empty（空标志信号）、full（满标志信号）和 usedw（表示 FIFO 中

已使用的空间数量)。

存储结构：使用一个 8 位宽、32 字节深的数组 `fifo_ram` 作为 FIFO 的存储空间。

读写操作：

读操作：当有读请求 (`rdreq`) 且 FIFO 不为空 (`empty`) 时，从 `fifo_ram` 中读取数据并赋值给输出 `q`。

写操作：当有写请求 (`wrreq`) 且 FIFO 未滿 (`full`) 时，将输入数据 `data` 写入 `fifo_ram`。

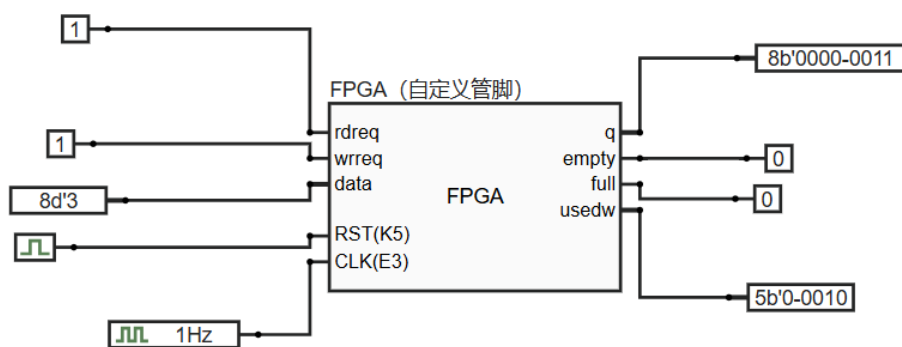
地址指针：使用两个 5 位的寄存器 `rdaddr` 和 `wraddr` 分别作为读和写的地址指针。它们在每次读写操作后更新，以指向下一个要读写的位置。

资源计算：`usedw` 寄存器用于跟踪 FIFO 中已使用的空间数量。它在读写操作时更新，以反映 FIFO 的当前状态。

空满标志：`empty` 和 `full` 标志通过比较 `usedw` 的值来确定 FIFO 是否为空或满。

复位操作：当复位信号 `aclr` (`RST`) 被激活时，FIFO 的内容和所有控制寄存器（包括 `q`、`rdaddr`、`wraddr` 和 `usedw`）都被清零。

利用 `bin` 文件进行 FPGA 烧结后调整输入数据，观测输出数据。



1.6 基于 Sobel 算子的边缘检测的原理

1.6.1 原理概述

基于 Sobel 算子的边缘检测原理主要涉及对图像中亮度变化的识别，这一过程是通过分析图像中每个像素点及其周围像素的亮度差异来实现的。在某个像素点，梯度的方向指向亮度变化最快的方向，而梯度的大小则表示变化的剧烈程度。Sobel 算子通过计算图像中每个像素点的梯度并将其与阈值进行比较来识别这些亮度的突变的区域，即可判断边缘。

1.6.2 详细原理

1.6.2.1 梯度概念

在图像处理中，边缘可以被定义为图像亮度变化最显著的地方。梯度是一个矢量，指向图像中亮度变化最大的方向，其大小表示变化的剧烈程度。因此，边缘检测本质上是寻找图像亮度梯度最大的区域。

1.6.2.2 Sobel 算子

Sobel 算子是一种用于边缘检测的离散微分算子，它通过计算图像亮度的空间梯度来识别边缘。Sobel 算子包含两个 3x3 的卷积核（或滤波器），一个用于检测水平方向的边缘，另一个用于检测垂直方向的边缘。

1.6.2.3 水平和垂直梯度

水平梯度（G_x）：使用水平方向的 Sobel 模板与图像进行卷积，计算每个像素点在水平方向上的梯度幅度。水平模板如下所示：

$$G_x = \begin{bmatrix} -1 & 0 & 1 \\ -2 & 0 & 2 \\ -1 & 0 & 1 \end{bmatrix} * A$$

垂直梯度（G_y）：使用垂直方向的 Sobel 模板与图像进行卷积，计算每个像素点在垂直方向上的梯度幅度。垂直模板如下所示：

$$G_y = \begin{bmatrix} -1 & -2 & 1 \\ -2 & 0 & 2 \\ -1 & 0 & 1 \end{bmatrix} * A$$

1.6.2.4 梯度幅度和方向

梯度幅度（G）：通过计算水平和垂直梯度的平方和的平方根，可以得到每个像素点的梯度幅度，即： $G = \sqrt{G_x^2 + G_y^2}$ ，这个值表示了在该点亮度变化的总量。

但此步骤运算较为复杂，涉及平方和开根运算，FPGA 并不擅长此类运算，通常，为了提高效率，使用不开平方的近似值，但这样做会损失精度，迫不得已的时候可以如下这样： $G = |G_x| + |G_y|$ 。

梯度方向 (θ): 梯度的方向可以通过反正切函数计算得到，即： $\theta = \tan^{-1}(\frac{G_y}{G_x})$ ，这个角度表示了亮度变化最快的方向。

1.6.2.5 设置阈值并进行边缘检测

非极大值抑制: 在计算出每个像素点的梯度幅度和方向后，Sobel 算子还会进行非极大值抑制，以消除非边缘点。这一步骤通过比较当前像素点的梯度幅度与其相邻像素点在梯度方向上的梯度幅度来实现，只保留梯度幅度最大的点。

双阈值检测: 为了进一步确定哪些梯度幅度表示真实的边缘，Sobel 算子使用双阈值方法。设置一个高阈值和一个低阈值，高于高阈值的点被确定为强边缘，低于低阈值的点被排除，介于两者之间的点则根据它们是否与强边缘点相连来决定是否保留。

1.6.3 总结

Sobel 算子的边缘检测原理基于图像亮度的空间梯度，通过计算水平和垂直方向上的梯度幅度和方向来识别边缘。这种方法简单有效，能够快速识别图像中的边缘，尽管它可能不如一些更复杂的边缘检测算子精确，但在许多应用中已经足够使用。

1.7 FPGA 实现边缘检测图像预处理具有较好实时性的原因

Sobel 算子作为一种广泛使用的边缘检测方法，其在 FPGA 平台上的实现显著提升了处理的实时性。FPGA 的并行处理能力、流水线设计、并行 I/O 操作以及定制化硬件逻辑是其在图像预处理任务中表现卓越的关键因素。这些特性使得 FPGA 能够快速、高效地处理大量图像数据，满足实时或近实时处理的需求。以下是对 FPGA 在实现 Sobel 边缘检测中所展现的这些优势的详细探讨。

1.7.1 FPGA 实现边缘检测的并行处理能力

在数字图像处理领域，边缘检测是识别图像中亮度变化明显区域的关键步骤，这些区域通常对应于物体的轮廓。Sobel 算子作为一种流行的边缘检测方法，其核心在于计算图像亮度函数的梯度，从而识别出边缘。在传统的处理器上，这一过程通常是顺序执行的，而在 FPGA 上，由于其并行处理的特性，可以显著提高边缘检测的效率。

FPGA 的并行处理能力主要体现在其能够同时处理多个数据点。以 Sobel 边缘检测为例，算法需要对图像的每个像素点应用 3×3 的模板进行卷积操作。在 FPGA 中，可以设计多个这样的模板处理单元并行工作，每个单元负责一部分图像区域的边缘检测，实现对整个图像的并行处理。这种并行处理方式使得 FPGA 在处理大规模图像数据时具有明显的速度优势。

在 FPGA 设计中，通过实例化移位寄存器模块，如 `shift_register_2taps`，实现了两行数据的缓存。这种设计允许 FPGA 同时访问当前行和前一行的数据，为 3×3 模板的卷积操作提供了必要的历史数据。通过将两个移位寄存器级联，可以连续地保存两行数据，并且能够通过 `taps1x` 和 `taps0x` 端口访问这些数据。这种行缓存机制是并行处理的基础，因为它允许算法在处理当前像素时，同时为下一个像素准备数据。

在 Sobel 边缘检测模块 sobel 中，定义了多个寄存器用于存储 3×3 矩阵的像素值。这些寄存器的更新和梯度的计算都是在时钟信号的每个上升沿同时进行的，这体现了 FPGA 的并行处理特性。通过这种方式，FPGA 能够快速地对每个像素块进行梯度计算，而不需要等待前一个像素的处理完成。

1.7.2 流水线设计

流水线设计是 FPGA 提升处理速度的关键技术之一。在 FPGA 中，流水线技术通过将复杂的计算任务分解成多个阶段，每个阶段可以并行执行，从而提高处理速度。例如，在 Sobel 边缘检测算法中，梯度的计算可以分解为多个步骤：首先计算水平和垂直方向的梯度（ G_x 和 G_y ），然后计算梯度的幅度 G ，最后将 G 与阈值比较以输出二值图像结果。通过在 FPGA 中实现流水线，这些步骤可以并行进行，每个步骤由不同的硬件逻辑单元执行，从而显著减少总体的计算延迟。这种设计使得 FPGA 在处理图像数据时，能够以极高的效率并行处理多个像素点的边缘检测，实现实时或近实时的图像处理。

1.7.3 并行 I/O 操作

FPGA 的并行 I/O 操作能力是其另一个显著优势。FPGA 的 I/O 单元可以同时进行数据的输入和输出操作，支持高速数据传输。这使得 FPGA 在处理外部设备的数据交互时也能保持高效率。在图像处理中，这意味着 FPGA 可以同时从传感器接收图像数据，并输出处理后的结果到显示设备或其他处理单元，而不需要等待 I/O 操作的完成。这种并行 I/O 操作减少了数据传输的时间延迟，提高了整体的实时性。

1.7.4 定制化硬件逻辑

FPGA 的定制化硬件逻辑是其核心优势之一。FPGA 允许设计者根据特定算法

的需求设计硬件逻辑，这意味着它可以针对这些任务进行优化，从而实现更高的效率。在 Sobel 边缘检测中，FPGA 可以被编程为实现特定的梯度计算逻辑，这种硬件级别的优化可以显著提高算法的执行速度和性能。与传统的通用处理器相比，FPGA 的定制逻辑可以减少不必要的计算和内存访问，提高性能功耗比。此外，FPGA 的可编程性还允许系统的功能通过重新编程 FPGA 来进行升级，而不需要物理更换硬件，这为算法的迭代和优化提供了极大的灵活性。

2. 致谢

感谢老师这段时间的培养教育，是您拓展丰富，形式多样的授课让我接触到了电子技术的多彩领域，安排这样用心良苦的课程设计也让我学到了很多实践知识。同时也要感谢助教在我有疑惑时的耐心解答，才能让这次电子技术课程设计顺利完成。